

**ДОДАТОК А**  
**СЛАЙДИ ПРЕЗЕНТАЦІЇ**

1 — 105-мм нарезная пуш  
2 — перископический при  
водителя;  
3 — 7,62-мм спаренный п  
4 — телескопический при  
5 — наводчик;  
6 — основной прицел нав  
7 — гранатомет для поста  
8 — пульт управления ком  
9 — 12,7-мм пулемет;  
10 — основной прицел ко  
11 — прицел командира д  
стрельбы из пулемета;  
12 — командир танка;  
13 — 7,62-мм пулемет;  
14 — люк;  
15 — вспомогательный  
вентилятор;  
16 — анемометр;

17 — от  
боеприп  
18 — га  
двигате  
19 — ес  
20 — ко  
21 — ос  
22 — т  
23 — воз

24 — коробка  
пулемета;  
25 — электронной  
апаратуры;  
26 — топливные баки;  
27 — механик-водитель;  
28 — рулевая колонка;  
29 — педаль тормоза;  
30 — педаль тормоза

**Міністерство освіти і науки України**  
**Харківський національний університет**  
**радіоелектроніки**

**АТЕСТАЦІЙНА РОБОТА МАГІСТРА**

Дослідження алгоритмів стабілізації та прицілювання при стрільбі з танка, балістики траєкторії стрільби на симуляторі віртуальної реальності.

Керівник проекту  
доц. каф. ПІ

Виконав  
Студент групи ІПЗМ-  
18-3

Назаров О.С.

Артюхов О.Д.

1

**Мета роботи**

Об'єкт розробки – Розробка танкового Симулятора у вигляді ігрового додатка до віртуальної реальності

Мета розробки – розробка алгоритмів балістики траєкторії стрільби до симулятору віртуальної реальності

Метод рішення – Windows, HTC vive, мова скриптингу Blueprint.

2

## Постановка задачі

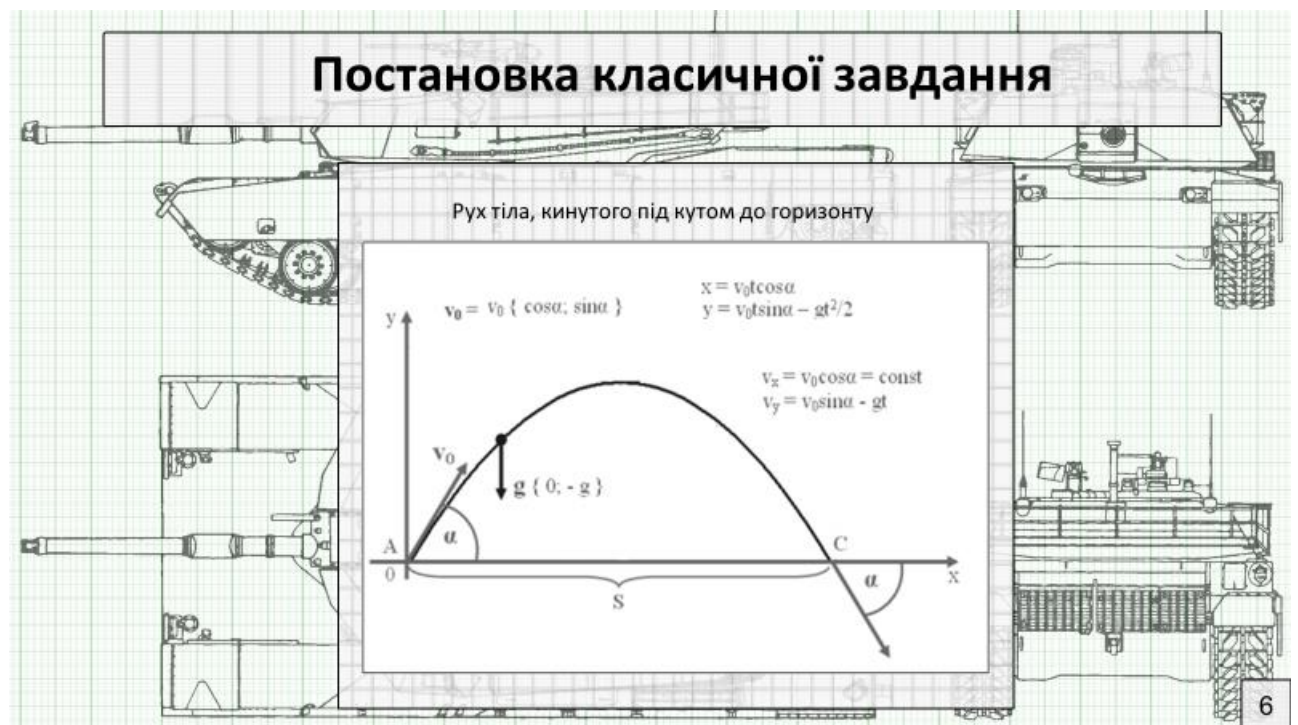
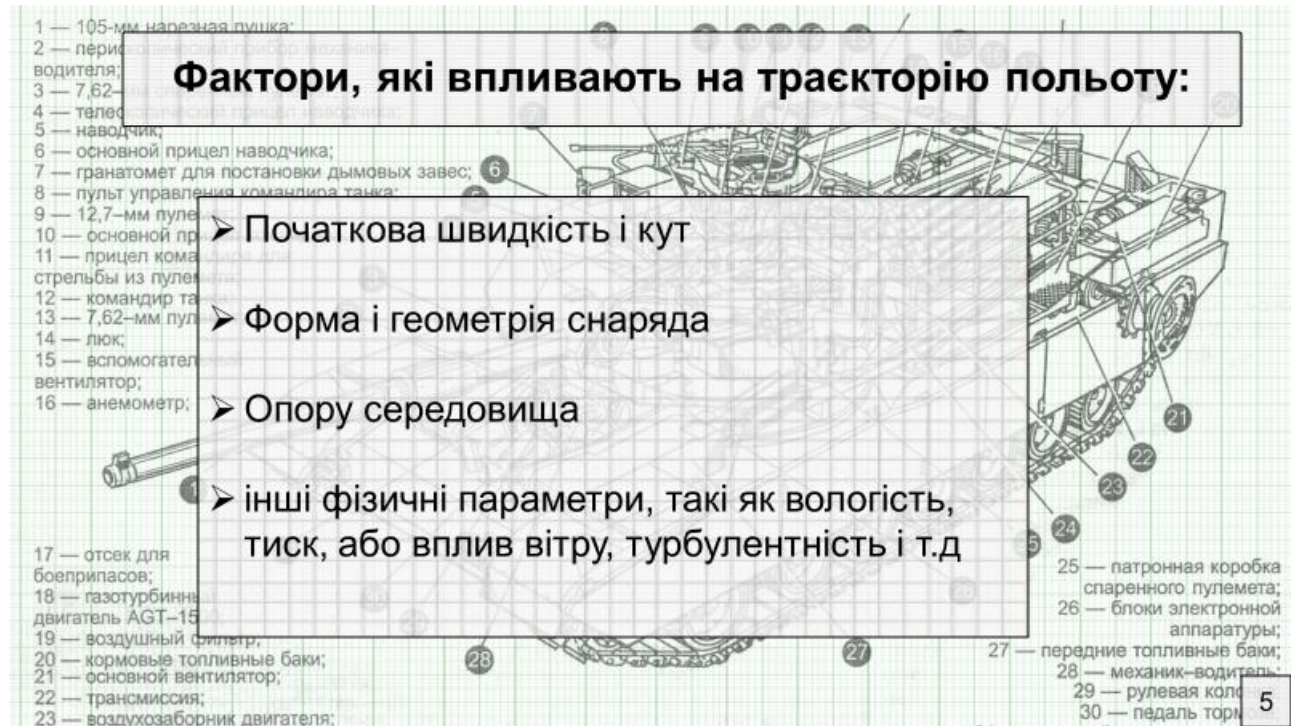
- Проаналізувати предметну область
- дослідження сил впливають на тіло під час його руху
- Розробити повноцінне програмне забезпечення
- Протестувати розроблене програмне забезпечення

3

## Балістика



4



1 — 105-мм нарезная пушка;  
 2 — водителю;  
 3 — командир;  
 4 — основной прицел командира;  
 5 — 12,7-мм пулемет;  
 6 — основной прицел наводчика;  
 7 — гранатомет для постановки дымовых завес;  
 8 — пульт управления командира танка;  
 9 — 12,7-мм пулемет;  
 10 — основной прицел командира;  
 11 — стрелок;  
 12 — боеприпасы;  
 13 — вентилятор;  
 14 — вентилятор;  
 15 — вентилятор;  
 16 — вентилятор;  
 17 — боеприпасы;  
 18 — двигатель;  
 19 — воздушный фильтр;  
 20 — кормовые топливные баки;  
 21 — основной вентилятор;  
 22 — трансмиссия;  
 23 — воздухозаборник двигателя;

## коэффициент лобового опору

Коефіцієнт опору визначається як

$$C_f = \frac{2F}{\rho v^2 S}$$

*F* - це сила опору,  
*ρ* - щільність середовища,  
*v* - це швидкість потоку об'єкта по відношенню до рідини,  
*S* - характерна площа перпендикулярно до потоку

Shape	Drag Coefficient
Sphere	0.47
Half-sphere	0.42
Cone	0.50
Cube	1.05
Angled Cube	0.80
Long Cylinder	0.82
Short Cylinder	1.15
Streamlined Body	0.04
Streamlined Half-body	0.09

Measured Drag Coefficients  
 20 — педаль тормоза;  
 27 — коробка пулемета;  
 28 — электронная паратура;  
 29 — иные баки;  
 30 — водителю;  
 31 — колесо

## 6 ступенів свободи

### Кути Ейлера

The diagram illustrates the three Euler angles used to describe the orientation of a rigid body in 3D space. It shows a fixed coordinate system with axes *x*, *y*, and *z*, and a rotated coordinate system with axes *x'*, *y'*, and *z'*. The angle  $\theta$  (pitch) is the angle between the *z*-axis and the *z'*-axis. The angle  $\psi$  (yaw) is the angle between the *y*-axis and the *y'*-axis. The angle  $\phi$  (roll) is the angle between the *x*-axis and the *x'*-axis.

## Обчислення центру інерції снаряда

3 геометричної моделі снаряда можна висловити:

$$m_{\text{цилиндр}} \cdot g \cdot \left( \frac{H}{2} - z_c \right)$$

$$m_{\text{конус}} \cdot g \cdot \left( \frac{h}{4} + z_c \right)$$

$$m_{\text{цилиндр}} = \pi R^2 H \rho \quad m_{\text{конус}} = \pi R^2 h \rho / 3$$

$$z_c = \frac{1}{4} \cdot \frac{6H^2 - h^2}{3H + h}$$

### Геометрична модель снаряда

1 — 105-мм нарезная пуш...  
 2 — перископический приц...  
 водителя;  
 3 — 7,62-мм спаренный пулемет;  
 4 — телескопический прицел наводчика;  
 5 — наводчик;

20 — механик-водитель  
 29 — рулевая колонка  
 30 — педаль тормоза

## Обертання навколо нерухомої осі

### Геометрична модель руху снаряда

## Обертання навколо нерухомої осі

1 — 105-мм нарезная пушка;  
 2 — перископический прицел командира;  
 3 — 7,62-мм спаренный пулемет;  
 4 — телескопический прицел;  
 5 — наводчик;  
 6 — основной прицел наводчика;  
 7 — гранатомет для постановки дымовых завес;  
 8 — пульт управления командира;  
 9 — 12,7-мм пулемет;  
 10 — основной прицел командира;  
 11 — прицел командира для стрельбы из пулемета;  
 12 — командир танка;  
 13 — 7,62-мм пулемет;  
 14 — люк;  
 15 — вспомогательный вентилятор;  
 16 — анемометр;

17 — отсек для боеприпасов;  
 18 — газотурбинный двигатель AGT-1500;  
 19 — воздушный фильтр;  
 20 — кормовые топливные баки;  
 21 — основной вентилятор;  
 22 — трансмиссия;  
 23 — воздухозаборник двигателя;

**Геометрична модель обертання снаряда**

обертання (R, зелений)  
 прецесія (P, синій)  
 нутація (N, червоний)

19 — 20 — 21 — 22 — 23 — 24 — 25 — патронная коробка спаренного пулемета;  
 26 — блоки электронной аппаратуры;  
 27 — редкие топливные баки;  
 28 — механик-водитель;  
 29 — рулевая колонка;  
 30 — педаль тормоза

## Опір середовища

1 — 2 — 3 — 4 — 5 — 6 — 7 — 8 — 9 — 10 — 11 — 12 — 13 — 14 — 15 — 16 — 17 — 18 — 19 — 20 — 21 — 22 — 23 — 24 — 25 — 26 — 27 — 28 — 29 — 30 — 31 — 32 — 33 — 34 — 35 — 36 — 37 — 38 — 39 — 40 — 41 — 42 — 43 — 44 — 45 — 46 — 47 — 48 — 49 — 50 — 51 — 52 — 53 — 54 — 55 — 56 — 57 — 58 — 59 — 60 — 61 — 62 — 63 — 64 — 65 — 66 — 67 — 68 — 69 — 70 — 71 — 72 — 73 — 74 — 75 — 76 — 77 — 78 — 79 — 80 — 81 — 82 — 83 — 84 — 85 — 86 — 87 — 88 — 89 — 90 — 91 — 92 — 93 — 94 — 95 — 96 — 97 — 98 — 99 — 100

**Залежність руху тіла від опору середовища**

$k = 0,0025$   
 $\alpha = 45^\circ$   
 — кружка опору  
 - - - рух без урахування опору

$k = 0,000625$   
 $\alpha = 45^\circ$   
 — рух з кружкою опору  
 - - - рух з кружкою опору

$k = 0,0003125$   
 $x$  — дальність польоту в метрах  
 $g = 9,807 \text{ м/с}^2$   
 прискорення вільного падіння  
 $\alpha = 45^\circ$

$k = 0,00015625$   
 $y$  — висота польоту в метрах  
 $v_0 = 50 \text{ м/с}$   
 початкова швидкість  
 $\alpha = 45^\circ$

101 — 102 — 103 — 104 — 105 — 106 — 107 — 108 — 109 — 110 — 111 — 112 — 113 — 114 — 115 — 116 — 117 — 118 — 119 — 120 — 121 — 122 — 123 — 124 — 125 — 126 — 127 — 128 — 129 — 130 — 131 — 132 — 133 — 134 — 135 — 136 — 137 — 138 — 139 — 140 — 141 — 142 — 143 — 144 — 145 — 146 — 147 — 148 — 149 — 150

## Відстань в 3х мірному просторі

1 — 105-мм нарезная пуш.  
2 — перископический прицел водителя;  
3 — 7,62-мм спаренный пулемет;  
4 — телескопический прицел наводчика;  
5 — наводчик;  
6 — основной прицел наводчика;  
7 — гранатомет для постановки д.  
8 — пульт управления командира  
9 — 12,7-мм пулемет;  
10 — основной прицел командира  
11 — прицел командира для стрельбы из пулемета;  
12 — командир танка;  
13 — 7,62-мм пулемет;  
14 — люк;  
15 — вспомогательный вентилятор;  
16 — анемометр;

17 — отсек для боеприпасов;  
18 — газотурбинный двигатель AGT-1500;  
19 — воздушный фильтр;  
20 — кормовые топливные баки;  
21 — основной вентилятор;  
22 — трансмиссия;  
23 — воздухозаборник двигателя.

### Знаходження відстані між точками частина 1

18  
19  
20  
21  
22  
23  
24  
25 — патронная коробка спаренного пулемета;  
26 — блоки электронной аппаратуры;  
27 — передние топливные баки;  
28 — механик-водитель;  
29 — рулевая колонка;  
30 — педаль тормоза.

## Відстань в 3х мірному просторі

діагональ зеленого(нижнього) прямокутника

$$L^2 = (x_2 - x_1)^2 + (y_2 - y_1)^2,$$

діагональ синього(верхнього) прямокутника

$$D^2 = L^2 + (z_2 - z_1)^2,$$

Висловимо кінцеву формулу для знаходження дистанції:

$$d(P_1, P_2) = \sqrt{(x_2 - x_1)^2 + (y_2 - y_1)^2 + (z_2 - z_1)^2}$$

### Знаходження відстані між точками частина 2





**ДОДАТОК Б**  
**КОД ІГРОВОГО ДОДАТКУ**

```

Aturret_C__pf1690381860::Aturret_C__pf1690381860(const
FObjectInitializer& ObjectInitializer) : Super(ObjectInitializer)
{
    if(HasAnyFlags(RF_ClassDefaultObject)                                &&
        (Aturret_C__pf1690381860::StaticClass() == GetClass()))
    {
        Aturret_C__pf1690381860::__CustomDynamicClassInitialization(CastChe
cked<UDynamicClass>(GetClass()));
    }

    bpv__Scene__pf                                                    =
    CreateDefaultSubobject<USceneComponent>(TEXT("Scene"));
    bpv__turret__pf                                                    =
    CreateDefaultSubobject<UStaticMeshComponent>(TEXT("turret"));
    bpv__gun__pf                                                        =
    CreateDefaultSubobject<UStaticMeshComponent>(TEXT("gun"));
    bpv__Camera__pf                                                    =
    CreateDefaultSubobject<UCameraComponent>(TEXT("Camera"));
    bpv__Arrow__pf                                                      =
    CreateDefaultSubobject<UArrowComponent>(TEXT("Arrow"));
    bpv__shoot__pf                                                     =
    CreateDefaultSubobject<UBillboardComponent>(TEXT("shoot"));
    bpv__Forvardhorisont__pf                                           =
    CreateDefaultSubobject<UArrowComponent>(TEXT("Forvardhorisont"));
    bpv__SceneCaptureComponent2D__pf                                    =
    CreateDefaultSubobject<USceneCaptureComponent2D>(TEXT("SceneCaptureCom
ponent2D"));
    RootComponent = bpv__Scene__pf;
    bpv__Scene__pf->CreationMethod = EComponentCreationMethod::Native;
    static TWeakObjectPtr<UPROPERTY> __Local_1{};
    const UPROPERTY* __Local_0 = __Local_1.Get();
    if (nullptr == __Local_0)
    {
        __Local_0 = (UActorComponent::StaticClass())-
>FindPropertyByName(FName(TEXT("bCanEverAffectNavigation")));
        check(__Local_0);
        __Local_1 = __Local_0;
    }
}

```

```

}

(((UBoolProperty*)__Local__0)-
>SetPropertyValue_InContainer((bpv__Scene__pf), false, 0));
bpv__turret__pf->CreationMethod = EComponentCreationMethod::Native;
bpv__turret__pf->AttachToComponent(bpv__Scene__pf,
FAttachmentTransformRules::KeepRelativeTransform );
auto& __Local__2 = (* (AccessPrivateProperty<UStaticMesh*
>((bpv__turret__pf), UStaticMeshComponent::__PPO__StaticMesh() )));
__Local__2 =
CastChecked<UStaticMesh>(CastChecked<UDynamicClass>(Aturret_C__pf16903
81860::StaticClass())->UsedAssets[0], ECastCheckedType::NullAllowed);
bpv__turret__pf->OverrideMaterials = TArray<UMaterialInterface*> ();
bpv__turret__pf->OverrideMaterials.Reserve(1);
bpv__turret__pf-
>OverrideMaterials.Add(CastChecked<UMaterialInterface>(CastChecked<UDy
namicClass>(Aturret_C__pf1690381860::StaticClass())->UsedAssets[1],
ECastCheckedType::NullAllowed));
(((UBoolProperty*)__Local__0)-
>SetPropertyValue_InContainer((bpv__turret__pf), true, 0));
bpv__gun__pf->CreationMethod = EComponentCreationMethod::Native;
bpv__gun__pf->AttachToComponent(bpv__turret__pf,
FAttachmentTransformRules::KeepRelativeTransform );
auto& __Local__3 = (* (AccessPrivateProperty<UStaticMesh*
>((bpv__gun__pf), UStaticMeshComponent::__PPO__StaticMesh() )));
__Local__3 =
CastChecked<UStaticMesh>(CastChecked<UDynamicClass>(Aturret_C__pf16903
81860::StaticClass())->UsedAssets[2], ECastCheckedType::NullAllowed);
bpv__gun__pf->OverrideMaterials = TArray<UMaterialInterface*> ();
bpv__gun__pf->OverrideMaterials.Reserve(1);
bpv__gun__pf-
>OverrideMaterials.Add(CastChecked<UMaterialInterface>(CastChecked<UDy
namicClass>(Aturret_C__pf1690381860::StaticClass())->UsedAssets[1],
ECastCheckedType::NullAllowed));
bpv__gun__pf->RelativeLocation = FVector(50.000000, 0.000000,
0.000000);
(((UBoolProperty*)__Local__0)-
>SetPropertyValue_InContainer((bpv__gun__pf), true, 0));
bpv__Camera__pf->CreationMethod = EComponentCreationMethod::Native;

```

```

bpv_Camera_pf->AttachToComponent(bpv_gun_pf,
FAttachmentTransformRules::KeepRelativeTransform );
(((UBoolProperty*)__Local__0)-
>SetPropertyValue_InContainer((bpv_Camera_pf), false, 0));
bpv_Arrow_pf->CreationMethod = EComponentCreationMethod::Native;
bpv_Arrow_pf->AttachToComponent(bpv_gun_pf,
FAttachmentTransformRules::KeepRelativeTransform );
bpv_Arrow_pf->ArrowColor = FColor(79, 255, 143, 255);
bpv_Arrow_pf->RelativeLocation = FVector(50.000000, 0.000000,
0.000000);
(((UBoolProperty*)__Local__0)-
>SetPropertyValue_InContainer((bpv_Arrow_pf), false, 0));
bpv_shoot_pf->CreationMethod = EComponentCreationMethod::Native;
bpv_shoot_pf->AttachToComponent(bpv_Arrow_pf,
FAttachmentTransformRules::KeepRelativeTransform );
(((UBoolProperty*)__Local__0)-
>SetPropertyValue_InContainer((bpv_shoot_pf), false, 0));
bpv_shoot_pf->bIsEditorOnly = true;
bpv_Forvardhorisont_pf->CreationMethod =
EComponentCreationMethod::Native;
bpv_Forvardhorisont_pf->AttachToComponent(bpv_gun_pf,
FAttachmentTransformRules::KeepRelativeTransform );
bpv_Forvardhorisont_pf->RelativeLocation = FVector(50.000000,
0.000000, 0.000000);
(((UBoolProperty*)__Local__0)-
>SetPropertyValue_InContainer((bpv_Forvardhorisont_pf), false, 0));
bpv_SceneCaptureComponent2D_pf->CreationMethod =
EComponentCreationMethod::Native;
bpv_SceneCaptureComponent2D_pf->AttachToComponent(bpv_gun_pf,
FAttachmentTransformRules::KeepRelativeTransform );
bpv_SceneCaptureComponent2D_pf->TextureTarget =
CastChecked<UTextureRenderTarget2D>(CastChecked<UDynamicClass>(Aturret
_C_pf1690381860::StaticClass())->UsedAssets[3],
ECastCheckedType::NullAllowed);
bpv_SceneCaptureComponent2D_pf->ShowFlagSettings =
TArray<FEngineShowFlagsSetting> ();
bpv_SceneCaptureComponent2D_pf-
>ShowFlagSettings.AddUninitialized(1);

```

```

FEngineShowFlagsSetting::StaticStruct()-
>InitializeStruct(bpv__SceneCaptureComponent2D__pf-
>ShowFlagSettings.GetData(), 1);
auto&      __Local__4      =      bpv__SceneCaptureComponent2D__pf-
>ShowFlagSettings[0];
__Local__4.ShowFlagName = FString(TEXT("TemporalAA"));
__Local__4.Enabled = true;
bpv__SceneCaptureComponent2D__pf->RelativeLocation = FVector(70.000000,
0.000000, 0.000000);
((UBoolProperty*)__Local__0)-
>SetPropertyValue_InContainer((bpv__SceneCaptureComponent2D__pf),
false, 0));
bpv__ForwardBullet__pf = FVector(0.000000, 0.000000, 0.000000);
bpv__NextLocation__pf = FVector(0.000000, 0.000000, 0.000000);
bpv__BlockHit__pf = true;
bpv__Gravity__pf = 9.820000f;
bpv__Mass__pf = 11.400000f;
bpv__GravityOffset__pf = FVector(0.000000, 0.000000, 0.000000);
bpv__InitialVelocity__pf = 1700.000000f;
bpv__Time__pf = 1.000000f;
bpv__MaxVertical__pf = 45.000000f;
bpv__MinVertical__pf = -5.000000f;
bpv__HorizontalRotationValue__pf      =      FRotator(0.000000,      0.000000,
0.000000);
bpv__AxisHorizontalValue__pf = 0.000000f;
bpv__RotationGunValue__pf = 0.000000f;
bpv__AxisVerticalValue__pf = 0.000000f;
bpv__VerticalRotationValue__pf      =      FRotator(0.000000,      0.000000,
0.000000);
bpv__TimerRatio__pf = 0.010000f;
bpv__Cos__pf = 0.000000f;
bpv__Sin__pf = 0.000000f;
bpv__RatioPower__pf = 1.000000f;
bpv__Cf__pf = 0.000000f;
bpv__Fc__pf = 0.000000f;
bpv__Ax__pf = FVector(0.000000, 0.000000, 0.000000);
bpv__Ay__pf = FVector(0.000000, 0.000000, 0.000000);
bpv__WorldScale__pf = 0.010000f;

```

```

bpv__VectorT__pf = FVector(0.000000, 0.000000, 0.000000);
bpv__VectorR__pf = FVector(0.000000, 0.000000, 0.000000);
bpv__Vx__pf = FVector(0.000000, 0.000000, 0.000000);
bpv__Vy__pf = FVector(0.000000, 0.000000, 0.000000);
bpv__V0__pf = 0.000000f;
bpv__X__pf = FVector(0.000000, 0.000000, 0.000000);
bpv__Y__pf = FVector(0.000000, 0.000000, 0.000000);
bpv__V0x__pf = FVector(0.000000, 0.000000, 0.000000);
bpv__V0y__pf = FVector(0.000000, 0.000000, 0.000000);
bpv__znak__pf = 0.000000f;
PrimaryActorTick.bCanEverTick = true;
}
void Aturret_C__pf1690381860::PostLoadSubobjects(FObjectInstancingGraph*
OuterInstanceGraph)
{
    Super::PostLoadSubobjects(OuterInstanceGraph);
    if(bpv__Scene__pf)
    {
        bpv__Scene__pf->CreationMethod = EComponentCreationMethod::Native;
    }
    if(bpv__turret__pf)
    {
        bpv__turret__pf->CreationMethod = EComponentCreationMethod::Native;
    }
    if(bpv__gun__pf)
    {
        bpv__gun__pf->CreationMethod = EComponentCreationMethod::Native;
    }
    if(bpv__Camera__pf)
    {
        bpv__Camera__pf->CreationMethod = EComponentCreationMethod::Native;
    }
    if(bpv__Arrow__pf)
    {
        bpv__Arrow__pf->CreationMethod = EComponentCreationMethod::Native;
    }
    if(bpv__shoot__pf)
    {

```

```

    bpv__shoot__pf->CreationMethod = EComponentCreationMethod::Native;
}
if(bpv__Forvardhorisont__pf)
{
    bpv__Forvardhorisont__pf->CreationMethod =
EComponentCreationMethod::Native;
}
if(bpv__SceneCaptureComponent2D__pf)
{
    bpv__SceneCaptureComponent2D__pf->CreationMethod =
EComponentCreationMethod::Native;
}
}
void
Aturret_C__pf1690381860::__CustomDynamicClassInitialization(UDynamicCl
ass* InDynamicClass)
{
    ensure(0 == InDynamicClass->ReferencedConvertedFields.Num());
    ensure(0 == InDynamicClass->MiscConvertedSubobjects.Num());
    ensure(0 == InDynamicClass->DynamicBindingObjects.Num());
    ensure(0 == InDynamicClass->ComponentTemplates.Num());
    ensure(0 == InDynamicClass->Timelines.Num());
    ensure(nullptr == InDynamicClass->AnimClassImplementation);
    InDynamicClass->AssembleReferenceTokenStream();
    FConvertedBlueprintsDependencies::FillUsedAssetsInDynamicClass(InDynam
icClass, &__StaticDependencies_DirectlyUsedAssets);
    auto __Local__5 = NewObject<USceneComponent>(InDynamicClass,
USceneComponent::StaticClass(), TEXT("DefaultSceneRoot_GEN_VARIABLE"),
(EObjectFlags)0x00280029);
    InDynamicClass->ComponentTemplates.Add(__Local__5);
    auto __Local__6 =
NewObject<UInputActionDelegateBinding>(InDynamicClass,
UInputActionDelegateBinding::StaticClass(),
TEXT("InputActionDelegateBinding_1"), (EObjectFlags)0x00000000);
    InDynamicClass->DynamicBindingObjects.Add(__Local__6);
    auto __Local__7 = NewObject<UInputAxisDelegateBinding>(InDynamicClass,
UInputAxisDelegateBinding::StaticClass(),
TEXT("InputAxisDelegateBinding_1"), (EObjectFlags)0x00000000);

```

```

InDynamicClass->DynamicBindingObjects.Add(__Local__7);
static TWeakObjectPtr<UPROPERTY> __Local__9{};
const UPROPERTY* __Local__8 = __Local__9.Get();
if (nullptr == __Local__8)
{
    __Local__8 = (UActorComponent::StaticClass())-
>FindPropertyByName(FName(TEXT("bCanEverAffectNavigation")));
    check(__Local__8);
    __Local__9 = __Local__8;
}
((UBoolProperty*)__Local__8)-
>SetPropertyValue_InContainer((__Local__5), false, 0);
__Local__6->InputActionDelegateBindings =
TArray<FBlueprintInputActionDelegateBinding> ();
__Local__6->InputActionDelegateBindings.AddUninitialized(1);
FBlueprintInputActionDelegateBinding::StaticStruct()-
>InitializeStruct(__Local__6->InputActionDelegateBindings.GetData(),
1);
auto& __Local__10 = __Local__6->InputActionDelegateBindings[0];
__Local__10.InputActionName = FName(TEXT("Firegun"));
__Local__10.FunctionNameToBind =
FName(TEXT("InpActEvt_Firegun_K2Node_InputActionEvent_0"));
__Local__7->InputAxisDelegateBindings =
TArray<FBlueprintInputAxisDelegateBinding> ();
__Local__7->InputAxisDelegateBindings.AddUninitialized(2);
FBlueprintInputAxisDelegateBinding::StaticStruct()-
>InitializeStruct(__Local__7->InputAxisDelegateBindings.GetData(), 2);
auto& __Local__11 = __Local__7->InputAxisDelegateBindings[0];
__Local__11.InputAxisName = FName(TEXT("TurretRotateH"));
__Local__11.FunctionNameToBind =
FName(TEXT("InpAxisEvt_TurretRotateH_K2Node_InputAxisEvent_0"));
auto& __Local__12 = __Local__7->InputAxisDelegateBindings[1];
__Local__12.InputAxisName = FName(TEXT("TurretRotateV"));
__Local__12.FunctionNameToBind =
FName(TEXT("InpAxisEvt_TurretRotateV_K2Node_InputAxisEvent_1"));
}
void Aturret_C_pf1690381860::bpf__ExecuteUbergraph_turret__pf_0(int32
bpp__EntryPoint__pf)

```

```

{
    FVector
    bpfv__CallFunc_K2_GetComponentLocation_ReturnValue__pf(EForceInit::ForceInit);
    float bpfv__CallFunc_Multiply_FloatFloat_ReturnValue__pf{};
    FTimerHandle bpfv__CallFunc_K2_SetTimer_ReturnValue__pf{};
    FVector
    bpfv__CallFunc_GetForwardVector_ReturnValue__pf(EForceInit::ForceInit)
    ;
    FRotator
    bpfv__CallFunc_K2_GetComponentRotation_ReturnValue__pf(EForceInit::ForceInit);
    bool bpfv__CallFunc_LessEqual_FloatFloat_ReturnValue__pf{};
    float bpfv__CallFunc_Square_ReturnValue__pf{};
    float bpfv__CallFunc_Subtract_FloatFloat_ReturnValue__pf{};
    float bpfv__CallFunc_Sqrt_ReturnValue__pf{};
    FVector
    bpfv__CallFunc_GetForwardVector_ReturnValue1__pf(EForceInit::ForceInit)
    );
    float bpfv__CallFunc_Square_ReturnValue1__pf{};
    FVector
    bpfv__CallFunc_GetForwardVector_ReturnValue2__pf(EForceInit::ForceInit)
    );
    float bpfv__CallFunc_Square_ReturnValue2__pf{};
    float bpfv__CallFunc_Square_ReturnValue3__pf{};
    float bpfv__CallFunc_Square_ReturnValue4__pf{};
    float bpfv__CallFunc_Add_FloatFloat_ReturnValue2__pf{};
    float bpfv__CallFunc_Multiply_FloatFloat_ReturnValue3__pf{};
    float bpfv__CallFunc_Add_FloatFloat_ReturnValue3__pf{};
    float bpfv__CallFunc_Square_ReturnValue5__pf{};
    float bpfv__CallFunc_Sqrt_ReturnValue1__pf{};
    float bpfv__CallFunc_Multiply_FloatFloat_ReturnValue4__pf{};
    float bpfv__CallFunc_Square_ReturnValue6__pf{};
    float bpfv__CallFunc_Multiply_FloatFloat_ReturnValue5__pf{};
    float bpfv__CallFunc_Add_FloatFloat_ReturnValue4__pf{};
    float bpfv__CallFunc_Add_FloatFloat_ReturnValue5__pf{};
    float bpfv__CallFunc_Add_FloatFloat_ReturnValue6__pf{};
    float bpfv__CallFunc_Add_FloatFloat_ReturnValue7__pf{};
}

```

```

float bpfv__CallFunc_Sqrt_ReturnValue2__pf{};
float bpfv__CallFunc_Multiply_FloatFloat_ReturnValue6__pf{};
float bpfv__CallFunc_Divide_FloatFloat_ReturnValue__pf{};
int32 __CurrentState = bpp__EntryPoint__pf;
do
{
    switch( __CurrentState )
    {
        case 1:
            {
            }
        case 2:
            {
                bpf__V0xV0y__pf();
            }
        case 3:
            {
                if(::IsValid(bpv__Arrow__pf))
                {
                    bpfv__CallFunc_GetForwardVector_ReturnValue__pf =
                    bpv__Arrow__pf->USceneComponent::GetForwardVector();
                }
                bpv__ForwardBullet__pf =
                bpfv__CallFunc_GetForwardVector_ReturnValue__pf;
            }
        case 4:
            {
                if(::IsValid(bpv__Arrow__pf))
                {
                    bpfv__CallFunc_K2_GetComponentLocation_ReturnValue__pf =
                    bpv__Arrow__pf->USceneComponent::K2_GetComponentLocation();
                }
                bpv__NextLocation__pf =
                bpfv__CallFunc_K2_GetComponentLocation_ReturnValue__pf;
            }
        case 5:
            {

```

```

        bpf__dragxcoefficient__pfT(/*out*/
b01__CallFunc_drag_coefficient_Cf__pf);
    }
    case 6:
    {
        bpfv__CallFunc_Multiply_FloatFloat_ReturnValue__pf =
UKismetMathLibrary::Multiply_FloatFloat(bpv__TimerRatio__pf,
10.000000);
        bpv__RatioPower__pf =
bpfv__CallFunc_Multiply_FloatFloat_ReturnValue__pf;
    }
    case 7:
    {
        bpv__Cf__pf = b01__CallFunc_drag_coefficient_Cf__pf;
    }
    case 8:
    {
        bpv__Time__pf = 1.000000;
    }
    case 9:
    {
        bpfv__CallFunc_K2_SetTimer_ReturnValue__pf =
UKismetSystemLibrary::K2_SetTimer(this, FString(TEXT("LineTraceArc")),
bpv__TimerRatio__pf, true);
    }
    case 10:
    {
        if(::IsValid(bpv__Arrow__pf))
        {
            bpfv__CallFunc_K2_GetComponentRotation_ReturnValue__pf =
bpv__Arrow__pf->USceneComponent::K2_GetComponentRotation();
        }

        UKismetMathLibrary::BreakRotator(bpfv__CallFunc_K2_GetComponentRota
tion_ReturnValue__pf, /*out*/ b01__CallFunc_BreakRotator_Roll1__pf,
/*out*/ b01__CallFunc_BreakRotator_Pitch1__pf, /*out*/
b01__CallFunc_BreakRotator_Yawl__pf);
    }

```

```

        bpfv__CallFunc_LessEqual_FloatFloat_ReturnValue__pf      =
UKismetMathLibrary::LessEqual_FloatFloat(b01__CallFunc_BreakRotator_Pi
tch1__pf, 0.000000);
        if (!bpfv__CallFunc_LessEqual_FloatFloat_ReturnValue__pf)
        {
            __CurrentState = 15;
            break;
        }
    }
case 11:
    {
        bpv__znak__pf = 0.000000;
    }
case 12:
    {
        if (::IsValid(bpv__Forvardhorisont__pf))
        {
            bpfv__CallFunc_GetForwardVector_ReturnValue1__pf      =
bpv__Forvardhorisont__pf->USceneComponent::GetForwardVector();
        }

        UKismetMathLibrary::BreakVector(bpfv__CallFunc_GetForwardVector_Ret
urnValue1__pf, /*out*/ b01__CallFunc_BreakVector_X__pf, /*out*/
b01__CallFunc_BreakVector_Y__pf, /*out*/
b01__CallFunc_BreakVector_Z__pf);
        bpfv__CallFunc_Square_ReturnValue1__pf                  =
UKismetMathLibrary::Square(b01__CallFunc_BreakVector_Z__pf);
        if (::IsValid(bpv__Arrow__pf))
        {
            bpfv__CallFunc_GetForwardVector_ReturnValue2__pf      =
bpv__Arrow__pf->USceneComponent::GetForwardVector();
        }
        bpfv__CallFunc_Square_ReturnValue2__pf                  =
UKismetMathLibrary::Square(b01__CallFunc_BreakVector_Y__pf);

        UKismetMathLibrary::BreakVector(bpfv__CallFunc_GetForwardVector_Ret
urnValue2__pf, /*out*/ b01__CallFunc_BreakVector_X1__pf, /*out*/

```

```

b01__CallFunc_BreakVector_Y1__pf,                                     /*out*/
b01__CallFunc_BreakVector_Z1__pf);
    bpfv__CallFunc_Square_ReturnValue3__pf                         =
UKismetMathLibrary::Square(b01__CallFunc_BreakVector_X__pf);
    bpfv__CallFunc_Square_ReturnValue4__pf                         =
UKismetMathLibrary::Square(b01__CallFunc_BreakVector_Z1__pf);
    bpfv__CallFunc_Add_FloatFloat_ReturnValue2__pf               =
UKismetMathLibrary::Add_FloatFloat(bpfv__CallFunc_Square_ReturnValue3__
__pf, bpfv__CallFunc_Square_ReturnValue2__pf);
    bpfv__CallFunc_Multiply_FloatFloat_ReturnValue3__pf          =
UKismetMathLibrary::Multiply_FloatFloat(b01__CallFunc_BreakVector_Z1__
pf, b01__CallFunc_BreakVector_Z__pf);
    bpfv__CallFunc_Add_FloatFloat_ReturnValue3__pf               =
UKismetMathLibrary::Add_FloatFloat(bpfv__CallFunc_Add_FloatFloat_Retur
nValue2__pf, bpfv__CallFunc_Square_ReturnValue1__pf);
    bpfv__CallFunc_Square_ReturnValue5__pf                       =
UKismetMathLibrary::Square(b01__CallFunc_BreakVector_Y1__pf);
    bpfv__CallFunc_Sqrt_ReturnValue1__pf                         =
UKismetMathLibrary::Sqrt(bpfv__CallFunc_Add_FloatFloat_ReturnValue3__p
f);
    bpfv__CallFunc_Multiply_FloatFloat_ReturnValue4__pf          =
UKismetMathLibrary::Multiply_FloatFloat(b01__CallFunc_BreakVector_Y1__
pf, b01__CallFunc_BreakVector_Y__pf);
    bpfv__CallFunc_Square_ReturnValue6__pf                       =
UKismetMathLibrary::Square(b01__CallFunc_BreakVector_X1__pf);
    bpfv__CallFunc_Multiply_FloatFloat_ReturnValue5__pf          =
UKismetMathLibrary::Multiply_FloatFloat(b01__CallFunc_BreakVector_X1__
pf, b01__CallFunc_BreakVector_X__pf);
    bpfv__CallFunc_Add_FloatFloat_ReturnValue4__pf               =
UKismetMathLibrary::Add_FloatFloat(bpfv__CallFunc_Square_ReturnValue6__
__pf, bpfv__CallFunc_Square_ReturnValue5__pf);
    bpfv__CallFunc_Add_FloatFloat_ReturnValue5__pf               =
UKismetMathLibrary::Add_FloatFloat(bpfv__CallFunc_Multiply_FloatFloat__
ReturnValue5__pf,
bpfv__CallFunc_Multiply_FloatFloat_ReturnValue4__pf);
    bpfv__CallFunc_Add_FloatFloat_ReturnValue6__pf               =
UKismetMathLibrary::Add_FloatFloat(bpfv__CallFunc_Add_FloatFloat_Retur
nValue4__pf, bpfv__CallFunc_Square_ReturnValue4__pf);

```

```

        bpfv__CallFunc_Add_FloatFloat_ReturnValue7__pf          =
UKismetMathLibrary::Add_FloatFloat(bpfv__CallFunc_Add_FloatFloat_Return
nValue5__pf, bpfv__CallFunc_Multiply_FloatFloat_ReturnValue3__pf);
        bpfv__CallFunc_Sqrt_ReturnValue2__pf                  =
UKismetMathLibrary::Sqrt(bpfv__CallFunc_Add_FloatFloat_ReturnValue6__p
f);
        bpfv__CallFunc_Multiply_FloatFloat_ReturnValue6__pf    =
UKismetMathLibrary::Multiply_FloatFloat(bpfv__CallFunc_Sqrt_ReturnValu
e2__pf, bpfv__CallFunc_Sqrt_ReturnValue1__pf);
        bpfv__CallFunc_Divide_FloatFloat_ReturnValue__pf      =
FCustomThunkTemplates::Divide_FloatFloat(bpfv__CallFunc_Add_FloatFloat
_ReturnValue7__pf,
bpfv__CallFunc_Multiply_FloatFloat_ReturnValue6__pf);
        bpv__Cos__pf                                          =
bpfv__CallFunc_Divide_FloatFloat_ReturnValue__pf;
    }
    case 13:
    {
        bpfv__CallFunc_Square_ReturnValue__pf                  =
UKismetMathLibrary::Square(bpv__Cos__pf);
        bpfv__CallFunc_Subtract_FloatFloat_ReturnValue__pf    =
UKismetMathLibrary::Subtract_FloatFloat(1.000000,
bpfv__CallFunc_Square_ReturnValue__pf);
        bpfv__CallFunc_Sqrt_ReturnValue__pf                    =
UKismetMathLibrary::Sqrt(bpfv__CallFunc_Subtract_FloatFloat_ReturnValu
e__pf);
        bpv__Sin__pf = bpfv__CallFunc_Sqrt_ReturnValue__pf;
    }
    case 14:
    {
        bpv__LineTraceArcTimerHandle__pf                       =
bpfv__CallFunc_K2_SetTimer_ReturnValue__pf;
        __CurrentState = -1;
        break;
    }
    case 15:
    {
        bpv__znak__pf = 1.000000;

```

```

        __CurrentState = 12;
        break;
    }
    default:
        break;
}
} while( __CurrentState != -1 );
}
void Aturret_C_pf1690381860::bpf__ExecuteUbergraph_turret_pf_1(int32
bpp__EntryPoint_pf)
{
    float bpfv__CallFunc_Multiply_FloatFloat_ReturnValue1_pf{};
    float bpfv__CallFunc_Add_FloatFloat_ReturnValue_pf{};
    float bpfv__CallFunc_FClamp_ReturnValue_pf{};
    FRotator
    bpfv__CallFunc_MakeRotator_ReturnValue_pf(EForceInit::ForceInit);
    check(bpp__EntryPoint_pf == 22);
    bpv__AxisVerticalValue_pf = b01__K2Node_InputAxisEvent_AxisValue1_pf;
    FRotator __Local__13 = FRotator(0.000000,0.000000,0.000000);
    bpv__VerticalRotationValue_pf = ((::IsValid(bpv__gun_pf)) ?
    (bpv__gun_pf->RelativeRotation) : (__Local__13));
    // optimized KCST_UnconditionalGoto
    UKismetMathLibrary::BreakRotator(bpv__VerticalRotationValue_pf,
    /*out*/          b01__CallFunc_BreakRotator_Roll2_pf,          /*out*/
    b01__CallFunc_BreakRotator_Pitch2_pf,          /*out*/
    b01__CallFunc_BreakRotator_Yaw2_pf);
    bpfv__CallFunc_Multiply_FloatFloat_ReturnValue1_pf =
    UKismetMathLibrary::Multiply_FloatFloat(bpv__AxisVerticalValue_pf,
    0.100000);
    bpfv__CallFunc_Add_FloatFloat_ReturnValue_pf =
    UKismetMathLibrary::Add_FloatFloat(b01__CallFunc_BreakRotator_Pitch2__
    pf, bpfv__CallFunc_Multiply_FloatFloat_ReturnValue1_pf);
    bpfv__CallFunc_FClamp_ReturnValue_pf =
    UKismetMathLibrary::FClamp(bpfv__CallFunc_Add_FloatFloat_ReturnValue__
    pf, bpv__MinVertical_pf, bpv__MaxVertical_pf);
    bpv__RotationGunValue_pf = bpfv__CallFunc_FClamp_ReturnValue_pf;
    // optimized KCST_UnconditionalGoto

```

```

UKismetMathLibrary::BreakRotator(bpv__VerticalRotationValue__pf,
/*out*/          b01__CallFunc_BreakRotator_Roll2__pf,          /*out*/
b01__CallFunc_BreakRotator_Pitch2__pf,          /*out*/
b01__CallFunc_BreakRotator_Yaw2__pf);
bpfv__CallFunc_Multiply_FloatFloat_ReturnValue1__pf          =
UKismetMathLibrary::Multiply_FloatFloat(bpv__AxisVerticalValue__pf,
0.100000);
bpfv__CallFunc_Add_FloatFloat_ReturnValue__pf          =
UKismetMathLibrary::Add_FloatFloat(b01__CallFunc_BreakRotator_Pitch2__
pf, bpfv__CallFunc_Multiply_FloatFloat_ReturnValue1__pf);
bpfv__CallFunc_FClamp_ReturnValue__pf          =
UKismetMathLibrary::FClamp(bpfv__CallFunc_Add_FloatFloat_ReturnValue__
pf, bpv__MinVertical__pf, bpv__MaxVertical__pf);
bpfv__CallFunc_MakeRotator_ReturnValue__pf          =
UKismetMathLibrary::MakeRotator(b01__CallFunc_BreakRotator_Roll2__pf,
bpfv__CallFunc_FClamp_ReturnValue__pf,
b01__CallFunc_BreakRotator_Yaw2__pf);
if (::IsValid(bpv__gun__pf))
{
    bpv__gun__pf-
>USceneComponent::K2_SetRelativeRotation(bpfv__CallFunc_MakeRotator_Re
turnValue__pf,          false,          /*out*/
b01__CallFunc_K2_SetRelativeRotation_SweepHitResult__pf, false);
}
return; // KCST_GotoReturn
}

```